

§1 金属の複素屈折率

前稿(文献1)では、マイケルソン干渉計で光のエネルギーの吸収がない場合について、干渉条件を導いた。本稿では半透鏡でエネルギーの吸収がある場合を考察するが、一般的な状況での理論計算は困難であるから、具体例で数値計算をする。その準備として、半透鏡の蒸着金属の複素屈折率を計算する。

角振動数 ω の光波に対する金属の複素屈折率 n_2 は、次式で与えられる(文献2)。

$$n_2 = \sqrt{1 + \frac{\sigma / \varepsilon_0}{i \omega (1 + i \omega \tau)}}$$

$$\sigma = \frac{1}{\rho}, \quad \tau = \frac{m \sigma}{N q_e^2}$$

ただし、 σ は金属の伝導度、 ρ は抵抗率、 τ は伝導電子の平均自由時間、 m と q_e は電子の質量と電気量、 N は伝導電子の個数密度、 ε_0 は真空の誘電率である。この式を導出するとき、束縛電子からの寄与は無視している。1個の金属原子が f 個の伝導電子を供給しているとすると、金属の密度を d 、単位物質あたりを質量を μ 、アボガドロ定数を N_A として、 N は次式で与えられる。

$$N = f N_A \frac{d}{\mu}$$

一例として、銀の複素屈折率を計算してみよう。この場合、

$$d = 10.5 \text{ g cm}^{-3}, \quad \rho = 1.62 \times 10^{-8} \text{ } \Omega \text{ m}, \quad \mu = 108 \text{ g mol}^{-1}$$

である。これらを上式に代入すると、波長 λ [nm]の光波に対する複素屈折率は、

$$n_2 = \sqrt{1 - \frac{3.70 \lambda^2}{7.07 \times 10^4 f^{-1} - i \lambda}}$$

となる。ここで、 $f = 1$ として数値計算をすれば、可視領域で、

$$n_2 = n_R - i n_i, \quad n_R \ll 1, \quad n_i = 2.5 \sim 5.5$$

となることがわかる。 n_R と n_i を λ の関数としてグラフで表せば、図1の実線のようになる。 f の値を少し変えて計算すれば、

$$\left(\frac{\partial n_R}{\partial f} \right)_{f=1} \cong \begin{cases} 0.011 : \lambda = 380 \text{ nm} \\ 0.046 : \lambda = 770 \text{ nm} \end{cases}$$

$$\left(\frac{\partial n_i}{\partial f} \right)_{f=1} \cong \begin{cases} 1.5 : \lambda = 380 \text{ nm} \\ 2.8 : \lambda = 770 \text{ nm} \end{cases}$$

となるので、可視領域では n_R と n_i はどちらも f の単調増加関数である。

アルミニウムで計算しても、 $n_2(\lambda, f)$ の関数形は銀の場合とよく似ており、図1の破線のようになる。

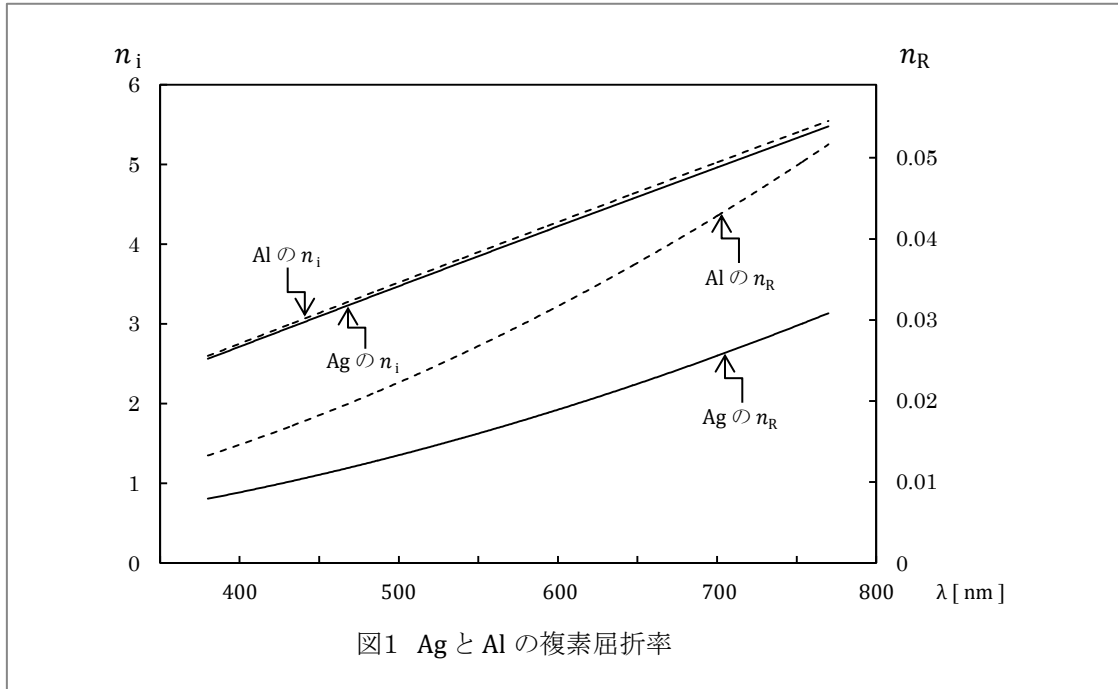


図1 AgとAlの複素屈折率

§2 エネルギー損失のある半透鏡

図2のように、厚さ d_3 、屈折率 $n_3 = 1.6$ のガラス板の片面に銀を薄く蒸着した半透鏡に、空気側から金属層に向かって、波長 λ の平面波が入射角 $\theta_1 = 45^\circ$ で入射する場合を考える。以下ではこの向きの入射を順行と呼ぶことにする。厚さ d_2 、屈折率 n_2 の金属層による振幅反射率 r_0 と振幅透過率 t_0 は次式で与えられる(文献3)。

S 偏光の場合、

$$r_0 = \frac{g^2 (k_{2x} - k_{3x})(k_{1x} + k_{2x}) + (k_{2x} + k_{3x})(k_{1x} - k_{2x})}{g^2 (k_{2x} - k_{3x})(k_{1x} - k_{2x}) + (k_{2x} + k_{3x})(k_{1x} + k_{2x})}$$

$$t_0 = \frac{4g k_{1x} k_{2x}}{g^2 (k_{2x} - k_{3x})(k_{1x} - k_{2x}) + (k_{2x} + k_{3x})(k_{1x} + k_{2x})}$$

P 偏光の場合、

$$r_0 = \frac{g^2 (n_3^2 k_{2x} - n_2^2 k_{3x})(n_2^2 k_{1x} + n_1^2 k_{2x}) + (n_3^2 k_{2x} + n_2^2 k_{3x})(n_2^2 k_{1x} - n_1^2 k_{2x})}{g^2 (n_3^2 k_{2x} - n_2^2 k_{3x})(n_2^2 k_{1x} - n_1^2 k_{2x}) + (n_3^2 k_{2x} + n_2^2 k_{3x})(n_2^2 k_{1x} + n_1^2 k_{2x})}$$

$$t_0 = \frac{4g n_1 n_2^2 n_3 k_{1x} k_{2x}}{g^2 (n_3^2 k_{2x} - n_2^2 k_{3x})(n_2^2 k_{1x} - n_1^2 k_{2x}) + (n_3^2 k_{2x} + n_2^2 k_{3x})(n_2^2 k_{1x} + n_1^2 k_{2x})}$$

ただし、

$$g = \exp(-i k_{2x} d_2)$$

$$k_{1x} = k_1 \sqrt{n_1^2 - \sin^2 \theta_1} = k_1 \cos \theta_1$$

$$k_{2x} = k_1 \sqrt{n_2^2 - \sin^2 \theta_1}$$

$$k_{3x} = k_1 \sqrt{n_3^2 - \sin^2 \theta_1}$$

であり、 $n_1 = 1.0$ は空気の屈折率、 $k_1 = 2\pi/\lambda$ は空気中での光の波数ベクトルの大きさである。また、 k_{1x} 、 k_{2x} 、 k_{3x} はそれぞれ、空気中、金属中、ガラス中での波数ベクトルのガラス板に垂直な方向の成分である。エネルギー反射率 R_0 とエネルギー透過率 T_0 、および反射と透過による位相のずれ δ_r と δ_t は次式で与えられる。

$$R_0 = |r_0|^2$$

$$T_0 = |t_0|^2 \frac{k_{3x}}{k_{1x}}$$

$$\delta_r = \text{Arg}(r_0)$$

$$\delta_t = \text{Arg}(t_0)$$

まず、 $p = d_2 / \lambda$ として、その値をいくつか適当に選び、 R_0 と T_0 を計算する。次に、それらの値をもとに反復収束法によって、半透鏡の定義式 $R_0 = T_0$ を満たす p の値を求める(注)。表1と表2には、波長 λ が 380nm と 770nm の2つの場合について、上記のようにして求めた p の値とそのときの r_0 、 t_0 、 $R_0 = T_0$ 、エネルギーの吸収率 $1 - (R_0 + T_0)$ 、 δ_r 、 δ_t の値が、S 偏光と P 偏光の2つの場合に分けて与えられている。下段の'のついた量は光が逆行する場合、すなわち、ガラス側から金属層に入射角 $\theta_3 = 26.23^\circ$ で入射し、空気側へ $\theta_1 = 45^\circ$ で透過する場合を表している。これらは、上記の諸式で添字の 1 と 3 を置き換えた式から計算できる。

表に見られるように、銀の蒸着層の厚さ d_2 は、順行の場合と逆行の場合でわずかに異なるが、その差は小さく、いずれの場合でも、S 偏光のときは波長の約 3.4% (紫) ~ 0.92% (赤) で、P 偏光のときは波長の約 4.8% (紫) ~ 1.5% (赤) である。

エネルギーの吸収率も順行の場合と逆行の場合で異なる。順行の場合、S 偏光のときは 0.35% (紫) ~ 0.70% (赤) で、P 偏光のときは約 0.50% (紫) ~ 0.96% (赤) である。また、逆行の場合、S 偏光のときは、0.69% (紫) ~ 1.42% (赤) で、P 偏光のときは、0.60% (紫) ~ 1.20% (赤) である。

エネルギーの吸収がない場合には、位相のずれ δ_r 、 δ_t 、 δ_r' 、 δ_t' の間に、

$$|(\delta_r + \delta_r') - (\delta_t + \delta_t')| = \pi$$

の関係が成り立つ(文献1)のだが、エネルギーの吸収がある場合には、左辺の値は、S 偏光では π よりわずかに大きくなり、P 偏光の場合には、 π よりわずかに小さくなる。

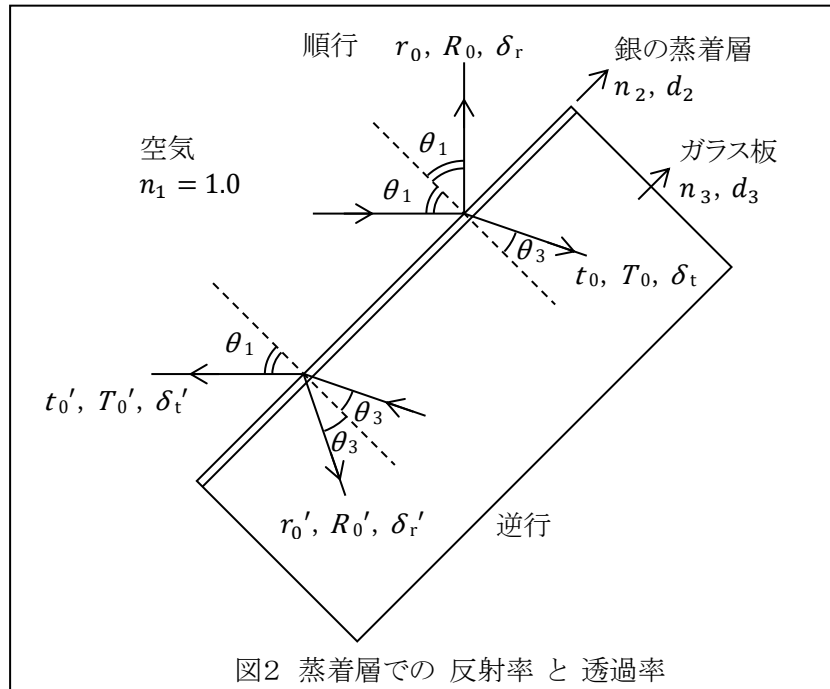


表1 半透鏡の反射率と透過率および位相のずれ

$\lambda=380\text{nm}$ $n_2 = 7.931 \times 10^{-3} - 2.561 i$		
	S 偏 光	P 偏 光
$p = d_2/\lambda$	0.03408	0.04839
r_0	$-0.5692 + 0.4174 i$	$0.3087 - 0.6342 i$
t_0	$0.4353 + 0.2365 i$	$0.4742 + 0.1421 i$
$R_0 = T_0$	0.4983	0.4975
$1 - R_0 - T_0$	0.003469	0.004966
δ_r [rad]	2.5089	-1.1178
δ_t [rad]	0.4977	0.2911
p'	0.03420	0.04843
r_0'	$-4.837 \times 10^{-2} - 0.7030 i$	$9.775 \times 10^{-2} - 0.6982 i$
t_0'	$0.8816 + 0.4804 i$	$0.9621 + 0.2885 i$
$R_0' = T_0'$	0.4966	0.4970
$1 - R_0' - T_0'$	0.006891	0.005982
δ_r' [rad]	1.6394	-1.4317
δ_t' [rad]	0.4989	0.2913

表2 半透鏡の反射率と透過率および位相のずれ

$\lambda=770\text{nm}$ $n_2 = 3.083 \times 10^{-2} - 5.480 i$		
	S 偏 光	P 偏 光
$p = d_2/\lambda$	0.009206	0.01471
r_0	$-0.6121 + 0.3490 i$	$0.4894 - 0.5057 i$
t_0	$0.3931 + 0.3001 i$	$0.4003 + 0.2894 i$
$R_0 = T_0$	0.4965	0.4952
$1 - R_0 - T_0$	0.007012	0.009581
δ_r [rad]	2.6235	-0.8017
δ_t [rad]	0.6520	0.6260
p'	0.009281	0.01474
r_0'	$-0.1916 + 0.6754 i$	$0.3404 - 0.6149 i$
t_0'	$0.7929 + 0.6098 i$	$0.8189 + 0.5875 i$
$R_0' = T_0'$	0.4929	0.4940
$1 - R_0' - T_0'$	0.01423	0.01204
δ_r' [rad]	1.8472	-1.0653
δ_t' [rad]	0.6556	0.6270

§3 マイケルソン干渉計

図3はマイケルソン干渉計の模式図で、半透鏡 H は §2 で考察したものを用い、補償板 C の厚さと屈折率は半透鏡のガラス板と同じとする。補償板を挿入しない場合、検出器 D と光源 S へ伝わる光のエネルギーの割合 F_D と F_S は、

$$F_D = |\rho\tau + \tau\rho'e^{-i\delta}e^{-i\gamma}|^2$$

$$F_S = |\rho^2 + \tau\tau'e^{-i\delta}|^2$$

で与えられ、補償板を挿入した場合は、

$$F_D = |\rho\tau_C^2\tau + \tau\rho'e^{-i\delta}e^{-i\gamma}|^2$$

$$F_S = |\rho\tau_C^2\rho + \tau\tau'e^{-i\delta}|^2$$

で与えられる。ただし、 ρ 、 ρ' と τ 、 τ' は半透鏡 H による振幅反射率と振幅透過率で、' がついていないものは順行の場合を、' がついていないものは逆行の場合を表す。また、 τ_C は補償板 C での振幅透過率である。これらは次式から計算できる(文献1, 4)。

$$\rho = \frac{r_0 + (t_0 t_0' - r_0 r_0') r' e^{-i\alpha}}{1 - r_0' r' e^{-i\alpha}}$$

$$\rho' = \frac{r + r_0' e^{-i\alpha}}{1 - r_0' r' e^{-i\alpha}}$$

$$\tau = \frac{t_0 t' e^{-i\beta}}{1 - r_0' r' e^{-i\alpha}}$$

$$\tau' = \frac{t_0' t e^{-i\beta}}{1 - r_0' r' e^{-i\alpha}} = \tau$$

$$\tau_c = \frac{(1 - r^2) e^{-i\beta}}{1 - r^2 e^{-i\alpha}}$$

ただし, r, r' と t, t' は空気とガラスの境界面での振幅反射率と振幅透過率で, ' がついていないものは空気側から入射する場合を, ' がついているものはガラス側から入射する場合を表しており, S 偏光では,

$$r = \frac{k_{1x} - k_{3x}}{k_{1x} + k_{3x}} = -r'$$

$$t = \frac{2k_{1x}}{k_{1x} + k_{3x}}, \quad t' = \frac{2k_{3x}}{k_{3x} + k_{1x}}$$

P 偏光では,

$$r = \frac{n_3^2 k_{1x} - n_1^2 k_{3x}}{n_3^2 k_{1x} + n_1^2 k_{3x}} = -r'$$

$$t = \frac{2n_1 n_3 k_{1x}}{n_3^2 k_{1x} + n_1^2 k_{3x}}, \quad t' = \frac{2n_3 n_1 k_{3x}}{n_1^2 k_{3x} + n_3^2 k_{1x}}$$

で与えられる。さらに, β はガラス板内へ屈折した光のガラス板の両端での位相差で, γ は図3の Q 点と Q' 点での位相の差であり, それぞれ

$$\beta = \frac{2\pi d_3}{\lambda} \frac{n_3^2}{\sqrt{n_3^2 - \sin^2 \theta_1}}$$

$$\gamma = \frac{4\pi d_3}{\lambda} \frac{\sin^2 \theta_1}{\sqrt{n_3^2 - \sin^2 \theta_1}}$$

と表される。また, α はガラス板内で多重反射して外に出て来た隣り合う2つの光の光路差による位相差で,

$$\alpha = 2\beta - \gamma = \frac{4\pi d_3}{\lambda} \sqrt{n_3^2 - \sin^2 \theta_1}$$

である。 δ は全反射鏡 M_1 と M_2 で反射される2つの光が空気中を伝わる時の光路差による位相差で,

$$\delta = \frac{4\pi}{\lambda} (L_2 - L_1), \quad L_1 = L_{11} + L_{12}$$

である。

一例として, 波長 $\lambda = 633 \text{ nm}$ のレーザー光で S 偏光の場合について, 数値計算をしてみよう。 α, β, γ を計算するためにはガラス板の厚さ d_3 の値が必要になるが, ここでは適当に, $d_3 = 4 \text{ mm}$ とする。 n_3 は 1.6 とする。

まず、§ 1 と同様に、 $f = 1$ として銀の複素屈折率 n_2 を計算する。次に、§ 2 の手順に従って、順行の場合に $R_0 = T_0$ を満たす $p = d_2 / \lambda$ の値とそのときの $r_0, t_0, \delta_r, \delta_t$ を計算する。そして、この p の値を用いて逆行の場合の $r_0', t_0', \delta_r', \delta_t'$ を計算する。したがって、この場合には $R_0' = T_0'$ とはならないが、その差はわずかである。次に $r_0, r_0', t_0, t_0', r, r', t, t', \alpha, \beta$ を用いて、 $\rho, \rho', \tau, \tau', \tau_c$ を計算する。ここで全反射鏡 M_1 を固定して M_2 をゆっくり移動させると、 δ が変化する。このとき、 $0 \leq \delta \leq 2\pi$ の範囲内で F_D と F_S を計算し、それらを δ の関数としてグラフに表せば、図4(C を挿入しない場合)と図5(C を挿入した場合)のようになる。実線は F_D を、点線は F_S を、破線は $F_D + F_S$ を表している。 $F_D + F_S$ の変化は小さいので、その尺度を拡大して描いてある。

これらの図からわかるように、金属層で吸収されるエネルギーは入射光のエネルギーの数%程度であるが、補償板 C を挿入すると、光学系の外部に出ていく光のエネルギーが入射光のエネルギーの 10%程度になる。ガラス板の厚さ d_3 を変えて計算すると、この値が 30%を超えることもある。

補償板 C を挿入した場合、 $L_1 = L_2$ (すなわち、 $\delta = 0$) のとき、検出器 D での明るさが最大になっていない。この一例をみても、“常識的な干渉条件”：

$$\lceil 2(L_2 - L_1) = m\lambda \text{ (} m \text{ は整数) のとき 検出器 D で明るくなる } \rceil$$

は間違っていることがわかる。エネルギーの吸収がある場合には、ガラス板の厚さ d_3 がある特定の値をとるときに、“常識的な干渉条件”が成り立つことがあるが、それはあくまでも例外である。

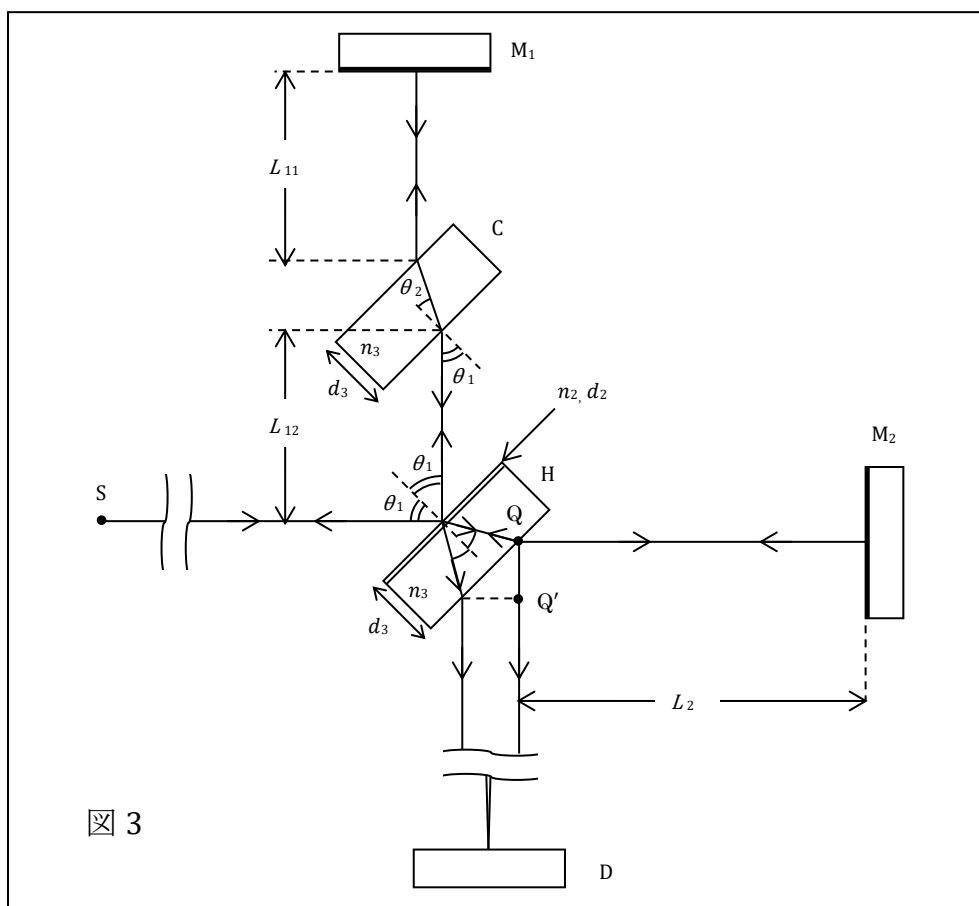
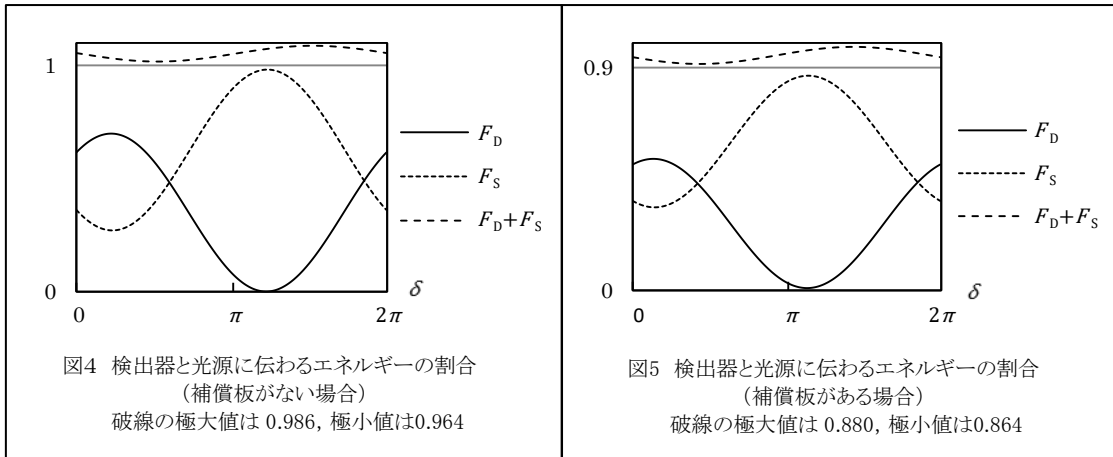


図 3



(注)

ガラス板内での多重反射を取り入れて、半透鏡全体のエネルギー反射率とエネルギー透過率が等しくなるものを半透鏡の定義にしてもよいが、その場合には、 d_2 と d_3 の組み合わせで無数の解があり、 p の値は一意的に決まらない。

参考文献

- 1) 斉藤全弘 : マイケルソン干渉計での干渉条件 (1),
- 2) ファインマン, レイトン, サンズ : ファインマン物理学 IV , 岩波書店(1971) p.178.
- 3) 斉藤全弘 : マッハ・ツェンダー干渉計での干渉条件 (2),
- 4) 斉藤全弘 : マッハ・ツェンダー干渉計での干渉条件 (1),

「熱中物理」に掲載されている論文の要約

は [こちらへ](#)